

# IgG4 Related Ophthalmic Disease



เพชรดา อึ้งอร่าม พ.บ.\*

บุญยดา พุทธิรังษีวงศ์ พ.บ.\*

ณัฏฐ์ธยาน์ สินประเสริฐกุล พ.บ.\*

瓦สนา กนกศิลป์ พ.บ.\*\*

## บทนำ

IgG4-related disease (IgG4-RD) เป็นโรคของ การอักเสบเรื้อรังที่มีลักษณะเป็นก้อนและเนื้อเยื่อพังผืด ลักษณะทางพยาธิวิทยาพบมีการรวมตัวกันอย่างหนาแน่น ของเม็ดเลือดขาวชนิด lymphocyte และ plasma cell ร่วม กับการมี IgG4+ plasma cell ปริมาณมาก โดยระดับ IgG4 ในเลือดอาจมีค่าสูงหรือปกติ

เบ้าตา (Orbit) เป็นตำแหน่งซึ่งพบภาวะดังกล่าวได้ บ่อยเรียกว่า IgG4-related ophthalmic disease (IgG4-ROD) ซึ่งมักพบร้อยโรคในอวัยวะอื่นๆ ร่วมด้วย โดยอาจเกิด พร้อมกันหรือเกิดขึ้นภายหลัง

## ระบบวิทยา

ข้อมูลทางระบบวิทยาของ IgG4-RD และ IgG4- ROD ยังมีค่อนข้างน้อยในปัจจุบัน ส่วนใหญ่ได้จากการวิจัย ในประเทศญี่ปุ่น ยองกง และเกาหลี พบว่า IgG4-ROD พบ ในเพศชายและหญิงในอัตราส่วนที่ใกล้เคียงกัน (1.3:1)<sup>1</sup> อายุ

เฉลี่ยของผู้ป่วยที่เริ่มมีอาการทางตาประมาณ 55.5 ปี (SD 12.9)<sup>1,2</sup> และพบในเด็กค่อนข้างน้อย โดยอายุน้อยที่สุดที่มีรายงานคือ 5 ปี<sup>3-6</sup> ผู้ป่วยที่มีอาการทางตาร่วมกับระบบ อวัยวะอื่นพบประมาณร้อยละ 22-100

การศึกษาข้อมูลย้อนหลังในผู้ป่วยที่เคยได้รับการ วินิจฉัยว่าเป็น Idiopathic Orbital Inflammation (IOI) และ/ หรือ Reactive Lymphoid Hyperplasia (RLH) ของ ประเทศออสเตรเลียพบว่าร้อยละ 23.6 ของผู้ป่วย IOI และร้อยละ 50 ของผู้ป่วย RLH เข้าได้กับเกณฑ์การวินิจฉัย โรค IgG4-ROD<sup>7</sup>

## พยาธิวิทยา

การวินิจฉัยโรค IgG4-RD ประกอบด้วยการมี ลักษณะทางเซลล์วิทยาที่เข้าได้กับโรคและมีจำนวน IgG4+ plasma cells เพิ่มขึ้น<sup>8</sup> หรือมีลักษณะของ IgG4+ต่อ IgG+ plasma cellsเพิ่มขึ้น

\* ภาควิชาจักษุวิทยา คณะแพทยศาสตร์โรงพยาบาลรามาธิบดี

\*\* ภาควิชาพยาธิวิทยา คณะแพทยศาสตร์โรงพยาบาลรามาธิบดี

โดยลักษณะทางเซลล์วิทยาของโรค IgG4-RD ได้แก่<sup>8</sup>

1) เซลล์เม็ดเลือดขาวชนิด lymphocyte มีลักษณะเป็น Reactive lymphoid follicles ร่วมกับ germinal centers พบ T-cells lymphocyte ขนาดเล็ก และ plasma cells อยู่รวมกันอย่างหนาแน่น

2) มีพังผืดเรียงตัวแบบ storiform หมายถึง มีลักษณะการเรียงตัวคล้ายชื่อล้อเกวียณ โดยมี spindle cell วางตัวในแนวรัศมีจากจุดศูนย์กลาง

3) หลอดเลือดดำอักเสบอุดตัน (obliterative phlebitis) ในบางอวัยวะแต่พบได้น้อยในต่อมน้ำตา (lacrimal gland)

นอกจากนี้ยังพบเม็ดเลือดขาวชนิด eosinophil ได้ โดยเฉพาะในรูปแบบของ eosinophilic angiocentric fibrosis แต่หากพบเม็ดเลือดขาวชนิด neutrophil ปริมาณมาก หรือมี granulomas สามารถวินิจฉัยได้ว่าไม่ใช่โรคในกลุ่ม IgG4-RD

ส่วนปริมาณของ IgG4+plasma cells ในเนื้อเยื่อ มีเกณฑ์ในการวินิจฉัย คือ

1) เนื้อเยื่อต่อมน้ำตา (lacrimal gland) คือ 100 ตัวต่อหนึ่งกำลังขยายสูงสุดของกล้องจุลทรรศน์ (100/HPF)

2) เนื้อเยื่อในอวัยวะอื่นๆ คือ มากกว่า 10 ตัวต่อหนึ่งกำลังขยายสูงสุดของกล้องจุลทรรศน์ (10/HPF)<sup>8</sup>

อย่างไรก็ตามลักษณะทางพยาธิเซลล์วิทยาและพยาธิวิทยาคลินิกมีความสำคัญมากกว่าจำนวน IgG4+ plasma cells ในรอยโรค ดังนั้นแม้มีจำนวน IgG4+plasma cell น้อยก็สามารถวินิจฉัยได้ว่าเป็น IgG4-RD ในบางกรณี เช่น มีพังผืดปริมาณมาก (sclerosing forms) หรือ มีระดับ IgG4 ในเลือดสูงมาก หรือมีลักษณะของ IgG4-RD ในอวัยวะอื่น<sup>9</sup>

## พยาธิกำเนิด

พยาธิสรีวิทยาของโรคยังคงไม่ชัดเจน แต่พบว่าทั้ง Humoral และ Cell-mediated immunity มีบทบาทเกี่ยวข้องกับโรคค่อนข้างมาก<sup>10-11</sup> แต่ยังไม่มีหลักฐานว่า auto-antibodies สามารถอธิบายพยาธิกำเนิดของโรคได้<sup>10</sup>

กลไกการกระตุ้นการเกิด IgG4-RD ยังไม่เป็นที่ทราบ

แน่ชัด มีการศึกษาว่าโรคนี้อาจเริ่มจากสภาวะการตอบสนองต่อสิ่งแวดล้อม อาหาร เชื้อโรค หรือการทำลายเนื้อเยื่อที่ผิดปกติไม่สมบูรณ์ มีสมมติฐานเกี่ยวกับ บทบาทของ follicular T-helper cells ในการกระตุ้นการสร้าง IgG4+ plasma cells รวมถึง cytokines ชนิด IL-5, IL-13, transforming growth factor beta และ interferon gamma กระตุ้นการสร้างพังผืด แต่ยังไม่พบหลักฐานสนับสนุน<sup>10</sup>

## อาการแสดง

ผู้ป่วยส่วนใหญ่มีอาการแบบค่อยเป็นค่อยไป มักไม่มีไข้หรืออ่อนเพลีย นอกจากการทางตาแล้วอวัยวะอื่นๆ ที่มักพบความผิดปกติได้แก่ ตับหรือทางเดินน้ำดี ต่อมน้ำลาย ต่อมน้ำเหลือง ไต ปอด เลนส์เลือดแดง aorta, เด้านม ลูกหมาก ต่อมไทรอยด์ เยื่อหุ้มหัวใจ และผิวนัง โดยอาการที่พบบ่อยมี 2 ลักษณะคือการอักเสบและ ก้อนในส่วนต่างๆ ของร่างกาย และอาการแบบโรคภูมิแพ้

## อาการแสดงตามระบบอวัยวะ ได้แก่

1. ตา ส่วนใหญ่ที่พบ คือ ต่อมน้ำตา (ร้อยละ 57.7) รองลงมาคือ trigeminal nerve (ร้อยละ 38.5), extraocular muscle (ร้อยละ 24.6), diffuse orbital fat disease (ร้อยละ 12.3), ก้อนที่ตา circumscribed mass (ร้อยละ 16.9), บริเวณเปลือกตา (ร้อยละ 12.3) และทางเดินท่อน้ำตา<sup>12</sup>

1.1 ต่อมน้ำตา (dacryoadenitis) พบร้อยที่สุด อาจเป็น 1 หรือ 2 ข้างก็ได้ ซึ่งถ้าพบต่อมน้ำตาและต่อมน้ำลายโต (sialoadenitis) เรียกว่า Mikulicz disease พบริเวณใกล้ๆ กันมากกว่าผู้ชาย จำเป็นต้องแยกโรคกับ Sjogren's syndrome (SS)

1.2 เลนส์ประสาท (orbital nerve) พบรanch of trigeminal nerve มีขนาดใหญ่ขึ้น โดยเฉพาะ infraorbital nerve จากการศึกษาของ Ohshima et al<sup>13</sup> ติดตามผู้ป่วยจำนวน 71 รายในกลุ่มผู้ป่วย orbital lymphoproliferative disorder พบร 16 รายเป็น IgG4-ROD ในจำนวนนี้ 9 คนมี infraorbital nerve enlargement (มีขนาดใหญ่กว่า optic nerve) และพบว่าขนาดของ infraorbital nerve มีขนาดปกติในผู้ป่วยที่ไม่ได้เป็น IgG4-ROD อาจพบเลน-



**รูปที่ 1** ผู้ป่วย IgG4 ROD ที่มีอาการแสดงทางตาต่างๆ กัน

ประสาทที่อื่นโดยได้ด้วย เช่น frontal nerve, supraorbital nerve ผู้ป่วยมักไม่ค่อยมีอาการชา

1.3 กล้ามเนื้อตา (orbital myositis) อาจมีอาการมัดเดียวหรือหลายมัด จากการศึกษาของ Wallace et al<sup>14</sup> พบร่วมกับการเกิดกล้ามเนื้อตาโตมักเริ่มจาก inferior rectus ตามด้วย superior rectus-levator complex, lateral rectus, medial rectus, inferior oblique และ superior oblique โดยผู้ป่วยจะมีอาการ กลอกตาแล้วปวด หรือมองเห็นภาพซ้อน

1.4 การอักเสบในเนื้าตาแบบมีพังพีด (sclerosing orbital inflammation) อาจพบร่วมกับ ต่อมน้ำตาโต หรือมี orbital myositis ร่วมด้วยหรือไม่ก็ได้<sup>15,16</sup>

1.5 อื่นๆ ผู้ป่วยอาจมีอาการท่อน้ำตาอุดตัน ม่านตาอักเสบแบบ nongranulomatous anterior uveitis หรือ scleritis<sup>17</sup>

## 2. ต่อมน้ำลาย

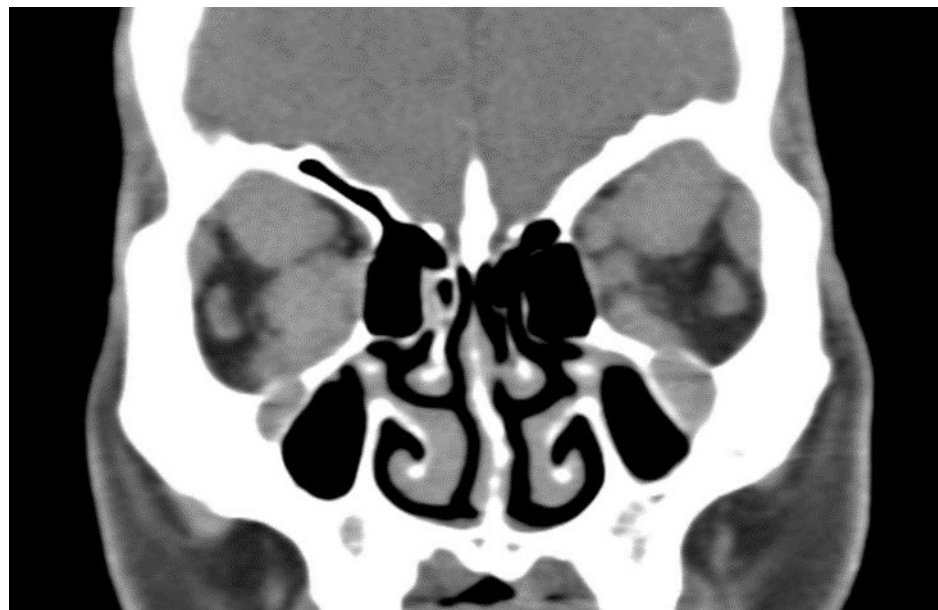
ต่อมน้ำลายมักโตแบบสองข้างสมมาตรกัน และเกิดได้มากกว่า 2 ต่อมขึ้นไป ส่วนใหญ่ไม่เจ็บ ไม่มีอาการปากแห้ง และมักมีอาการมานานกว่า 3 เดือน ตำแหน่งที่พบได้บ่อยคือ submandibular gland

## 3. ตับอ่อนและถุงน้ำดี

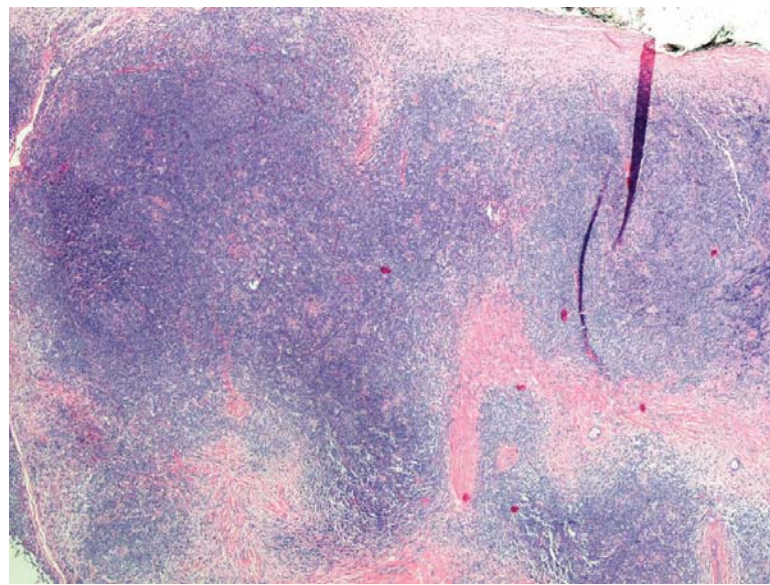
อาจมีอาการจุกแน่นท้อง ตัวเหลือง ตาเหลือง (obstructive jaundice) การทำงานของตับอ่อนผิดปกติ ทำให้มี impaired glucose tolerance<sup>18</sup> จำเป็นต้องแยกโรคกับโรคมะเร็งของระบบทางเดินน้ำดี และมะเร็งตับอ่อน

## 4. ระบบทางเดินหายใจ

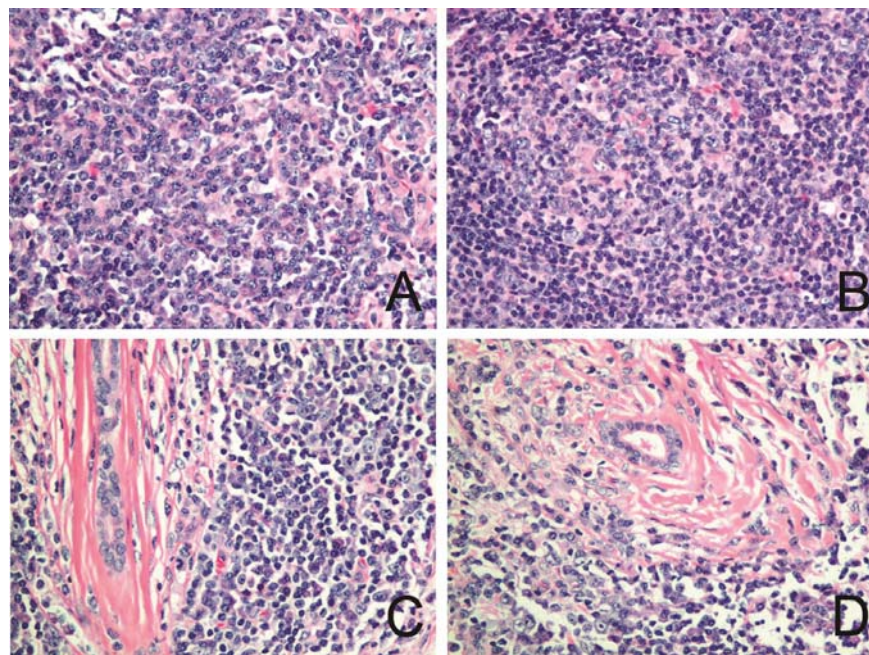
มักมีประวัติภูมิแพ้ เช่น ประวัติโพรงจมูกอักเสบ ไซน์สักเสบและหอบที่ดีร่วมด้วย<sup>19</sup> ซึ่ง pulmonary lesion ใน IgG4-RD ถูกแบ่งเป็น 2 แบบ ได้แก่ bronchial lesion มักมีอาการคล้ายหอบทืด ภาพถ่ายเอกซเรย์คอมพิวเตอร์



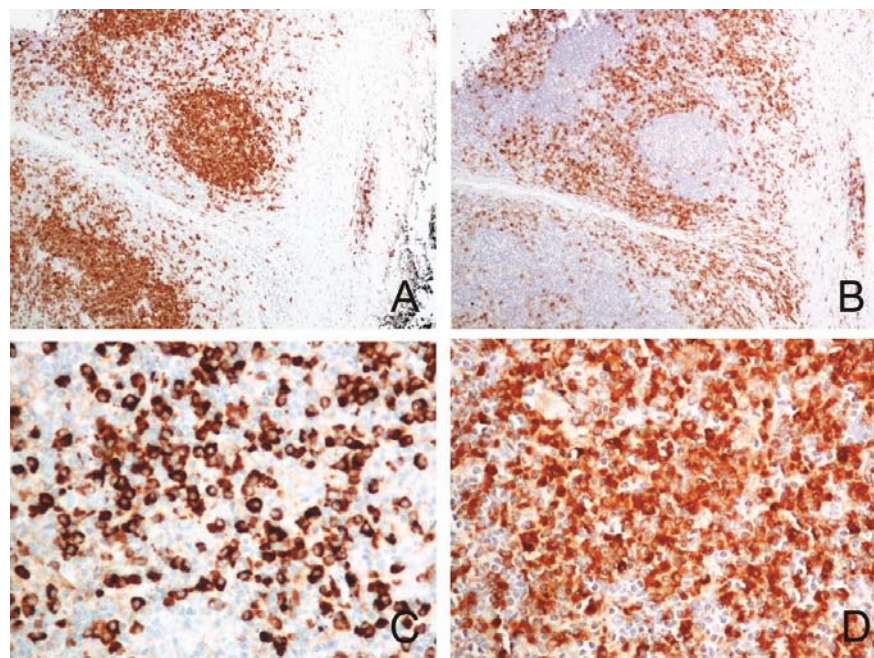
រូប៖ 2 CT scan; bilateral infiltrative lesion with Infraorbital nerve enlargement



រូប៖ 3 Lacrimal gland H&E stains; dense lymphoid tissue showing focal lymphoid follicles with germinal center, fibrosclerosis especially around duct, dense plasma cell infiltration



รูปที่ 4 Lacrimal gland H&E stain; **A:** lymphoid follicle with reactive germinal center  
**B:** plasma cells **C, D:** duct, fibrosclerosis and plasma cells



รูปที่ 5 Immunohistochemistry stains; **A:** CD20 demonstrate residual B-follicles, **B:** CD138 positive in increased plasma cells, **C, D:** IgG4: IgG ratio 40-50%

อาจพบพนังของ bronchial หรือ bronchiolar ที่หนาตัวขึ้น และแบบ alveolar lesion ผู้ป่วยมักไม่มีอาการ อาจพบ interstitial หรือ organizing pneumonia<sup>20</sup> ได้

### 5. ไตและต่อมลูกหมาก

มักมีトイอักเสบแบบ tuberlointerstitial nephritis ซึ่งส่งผลให้เกิด glomerulonephritis อาจรุนแรงจนเกิดอาการได้วยได้ทั้งในแบบเฉียบพลันหรือแบบเรื้อรัง การตรวจเอกซเรย์คอมพิวเตอร์ พบได้มีขนาดใหญ่ขึ้นร่วมกับมี mild enhancement<sup>21</sup> ในบางรายอาจมี hydronephrosis จาก ureteral obstruction และบางคนอาจพบ prostatitis ได้<sup>22</sup>

### 6. เนื้อยื่อหลังต่อเยื่อบุช่องท้อง (retroperitoneal cavity)

อาจตรวจพบเนื้อยื่อพังผืดหลังเยื่อบุช่องท้อง (retroperitoneum fibrosis) ได้ เช่น บริเวณหลอดเลือดแดง aorta รวมถึงเนื้อยื่อพังผืดบริเวณ ช่องอก (sclerosing mediastinitis) และในอวัยวะหล่ายระบบ (multiple fibrosclerosis)

### ตารางที่ 1 Diagnostic criteria for IgG4-related ophthalmic disease

#### Comprehensive diagnostic criteria for IgG4-RD 2011 by Umehara et al<sup>25</sup>

- 1) ตรวจร่างกายพบอาการบวมหรือก้อนโตในร่างกาย ตำแหน่งเดียวหรือหลายตำแหน่ง ในอวัยวะหนึ่งหรือมากกว่า
- 2) ตรวจเลือด พบระดับ IgG4 สูงกว่า 135 mg/dL
- 3) ผลตรวจชิ้นเนื้อทางพยาธิวิทยาพบ
  - lymphocyte และ plasma cell จำนวนมาก และมี fibrosis
  - อัตราส่วนของ IgG4+ ต่อ IgG+ cells มากกว่าร้อยละ 40 และพบ IgG4+ plasma cell > 10 ตัว ต่อ high power field โดย Definite 1+2+3, Probable 1+3, Possible 1+2

#### Consensus diagnostic criteria for IgG4-RD by Deshpande et al<sup>8</sup>

- 1) ผลตรวจชิ้นเนื้อทางพยาธิวิทยาของเนื้อยื่อต่อมน้ำตา พบรักษณะดังต่อไปนี้อย่างน้อย 1 ข้อ หรือเนื้อยื่อในเนื้าตา พbmมากกว่าหรือเท่ากับ 2 ข้อ
  - A: lymphocyte และ plasma cells infiltrate หนาแน่น
  - B: fibrosis ซึ่งมักเป็นลักษณะ storiform fibrosis
  - C: obliterative phlebitis
- 2) อัตราส่วนของ IgG4+ ต่อ IgG+ cells มากกว่าร้อยละ 40 และ IgG4+ plasma cells มากกว่า 100 ตัว ต่อ high power field โดย Highly suggestive of IgG4-related disease: 1+2

### 7. ต่อมน้ำเหลือง

อาจพบต่อมน้ำเหลืองโต (lymphadenopathy) ตามบริเวณต่างๆ ซึ่งต้องแยกกับโรค lymphoma หรือ Castleman's disease<sup>23</sup>

### ภาพถ่ายรังสี

ภาพถ่ายรังสีของตา อาจพบ bilateral lacrimal gland enlargement, orbital fat involvement, orbital nerve enlargement, EOM enlargement หรือพบ bone remodeling ได้แต่ไม่พบ bone destruction นอกจากนี้ยังสามารถตรวจด้วย whole body FDG-PET/CT ซึ่งสามารถบอกตำแหน่งรอยโรค และการตอบสนองต่อการรักษาได้<sup>24</sup>

### การวินิจฉัยภาวะ IgG4-ROD

อาศัยอาการทางคลินิกร่วมกับภาพถ่ายรังสี ผลตรวจระดับของ IgG4 ในเลือดและผลชิ้นเนื้อทางพยาธิวิทยา ดังตารางที่ 1

## การวินิจฉัยแยกโรค

โรคอื่นๆ ที่อาจมีอาการแสดงคล้ายคลึงกับ IgG4-RD ได้แก่ อาการตาโป่น คลำใต้ก้อน เช่น

**Sjogren's syndrome** สามารถเกิดโดยโรคที่ต่อมน้ำตาและต่อมน้ำลายทั้งสองข้างได้เหมือนกัน แต่มักมีอาการตาแห้งมาก ซึ่งไม่ค่อยพบใน IgG4-RD ตรวจเลือดพบ anti-Ro, anti-La เป็นบวก และจะไม่พบ IgG4+ plasma cell infiltrate ในเนื้อเยื่อ

**Grave's disease** เกิดการอักเสบในเบ้าตาและกล้ามเนื้อตาโดยขั้นแต่ thyroid orbitopathy จะมีลักษณะ spare tendon และมี restriction มากกว่าในกลุ่ม IgG4-RD

**lymphoid neoplasm** กลุ่ม extranodal marginal zone lymphoma โดยเฉพาะ mucosal-associated lymphoid tissue ซึ่งพบได้น้อยที่สุดในบริเวณนี้ แต่ใน IgG4-RD จะเป็น T-lymphocyte เป็นส่วนใหญ่ ในขณะที่ lymphoma จะเป็น B-lymphocyte infiltrate การตรวจ flow cytometry ยังสามารถบอกลักษณะของเซลล์ การตรวจ PCR และ Southern blot hybridization Ig heavy-, light-chain re-arrangements สามารถแยกลักษณะเป็น monoclonal lymphocyte population ที่พบใน lymphoma จากลักษณะ polyclonal population ใน IgG4-RD<sup>14</sup>

**granulomatosis with polyangiitis (GPA)** พบมีรอยโรคในเบ้าตา 50-60% อาการที่พบบ่อยคือมีก้อนในเบ้าตา episcleritis, scleritis อาจลุกตามมาจาก sinus ซึ่งเดียงได้ อาจพบมี IgG4+ plasma cells infiltrate ได้ แต่จะพบมี granulomatous lesion, vasculitis และ neutrophilic microabscess ผลเลือด ANA เป็นบวก ซึ่งจะไม่พบในกลุ่ม IgG4-RD<sup>14</sup>

นอกจากนี้ควรตรวจเพาะเชื้อ และย้อมสี เพื่อวินิจฉัยแยกโรคจากการอักเสบจากแบคทีเรียและเชื้อรา

## การรักษา

หากกลุ่มหลักได้แก่ corticosteroids ซึ่งตอบสนองต่อการรักษาดีแต่มักกลับเป็นข้า จาก Japanese consensus guideline ปริมาณที่แนะนำคือ 0.6 มิลลิกรัมต่อน้ำหนักตัวต่อวัน ประมาณ 2-4 สัปดาห์ และค่อยๆ ลดลง 5 มิลลิกรัมทุก 2-4 สัปดาห์ และมีการศึกษาการให้ maintainance dose 2.5-10 มิลลิกรัมต่อวัน ช่วยลดการกลับเป็นข้า<sup>26,27</sup>

การให้ pulse corticosteroids ทางหลอดเลือดดำพับว่าตอบสนองดี แต่ไม่มีการติดตามผลในระยะยาว<sup>28</sup>

พบว่าระดับ IgG4 ในเลือดที่ลดลงหลังการรักษา อาจบอกร่องบของโรคได้ ในทางกลับกัน ระดับ IgG4 ในเลือดที่ยังสูงหลังการรักษาล้มพ้นอีกบ้านการกลับเป็นข้าของโรค<sup>29</sup>

ยกกลุ่ม immunosuppressant ที่ได้ผลดี ได้แก่ rituximab ซึ่งเป็น anti-CD20 monoclonal antibody พับว่าการให้ rituximab 1000 มิลลิกรัม ทางหลอดเลือดดำ 2 ครั้ง ห่างกัน 14 วัน สามารถควบคุมอาการได้ภายใน 1 เดือน และโรคสงบนานถึง 6 เดือน และตอบสนองดีเมื่อให้ข้า<sup>14,30</sup> นอกจากนี้ยังมีการใช้ยากดภูมิคุ้มกัน อื่นๆ ได้แก่ azathioprine, metrotexate, mycophenolate mofetil ในกลุ่มผู้ป่วยที่มีอาการเป็นข้าหลังหยุดยา corticosteroids<sup>31</sup>

## พยากรณ์โรค

มีพยากรณ์โรคดี แต่พบความเสี่ยงในการเกิดมะเร็งเม็ดเลือดขาวชนิด Non-Hodgkin Lymphoma ได้ใน 3-5 ปี หลังวินิจฉัย IgG4-RD<sup>32</sup> และยังพบการเกิดมะเร็งอื่นๆ เช่น มะเร็งปอด และ มะเร็งลำไส้มากกว่าคนทั่วไป<sup>33</sup>

## เอกสารอ้างอิง

1. Andrew N, Kearney D, Selva D. IgG4-related orbital disease: a meta-analysis and review. *Acta Ophthalmol* 2013;91:694-700.
2. Khosroshahi A, Stone JH. A clinical overview of IgG4-related systemic disease. *Curr Opin Rheumatol* 2011;23:57-66.
3. Griepentrog GJ, Vickers RW, Karesh JW, et al. A clinicopathological case study of two patients with pediatric orbital IgG4-related disease. *Orbit* 2013;32:389-91.
4. Kalapesi FB, Garrott HM, Moldovan C, et al. IgG4 orbital inflammation in a 5-year-old child presenting as an orbital mass. *Orbit* 2013;32:137-40.
5. Sane M, Chelnis J, Kozielski R, Fasiuddin A. Immunoglobulin G4-sclerosing disease with orbital involvement in a 12-year-old girl. *JAAPOS* 2013;17:548-50.
6. Notz G, Intili A, Bilyk JR. IgG4-related dacryoadenitis in a 13-year-old girl. *Ophthal Plast Reconstr Surg* 2014;30:e161-3.
7. Andrew NH, Sladden N, Kearney D, Selva D. An analysis of IgG4-related disease (IgG4-RD) among idiopathic orbital inflammations and benign lymphoid hyperplasias using two consensus-based diagnostic criteria for IgG4-RD. *Br J Ophthalmol* 2015;99:376-81.
8. Deshpande V, Zen Y, Chan JK, et al. Consensus statement on the pathology of IgG4-related disease. *Mod Pathol* 2012; 25:1181-92.
9. Deshpande V. The pathology of IgG4-related disease: criteria issues and challenges. *Semin Diagn Pathol* 2012;29:191-6.
10. Mahajan VS, Mattoo H, Deshpande V, et al. IgG4-related disease. *Annu Rev Pathol* 2014;9:315-47.
11. Yamamoto M, Takahashi H, Shinomura Y, Mechanisms and assessment of IgG4-related disease: lessons for rheumatologist. *Nat Rev Rheumatol* 2014;10:148-59.
12. Sogabe Y, Ohshima K, Azumi A, et al. Location and frequency of lesions in patients with IgG4-related ophthalmic diseases. *Graefes Arch Clin Exp Ophthalmol* 2014;252:531-8.
13. Ohshima K, Sogabe Y, Sato Y. The usefulness of infraorbital nerve enlargement on MRI imaging in clinical diagnosis of IgG4-related orbital disease. *Jpn J Ophthalmol* 2012;56: 380-2.
14. Wallace ZS, Deshpande V, Stone JH. Ophthalmic manifestations of IgG4-related disease: single-center experience and literature review. *Semin Arthritis Rheum* 2014;43:806-17.
15. Costa RM, Dumitrascu OM, Gordon LK. Orbital myositis: diagnosis and management. *Curr Allergy Asthma Rep* 2009;9: 316-23
16. Paulus YM, Cockerham KP, Cockerham GC, Gratzinger D. IgG4positive sclerosing orbital inflammation involving the conjunctiva: a case report. *Ocul Immunol Inflamm* 2012;20: 375-7.
17. Kosakai A, Ito D, Yamada S, Ideta S, Ota Y, Suzuki N. A case of definite IgG4-related pachymeningitis. *Neurology* 2010; 15:1390-2.
18. Kubota T, Moritani S. Orbital IgG4-related disease: clinical features and diagnosis. *ISRN Rheumatol* 2012:412896.
19. Matsui S, Hebisawa A, Sakai F, Yamamoto H, Terasaki Y, Kurihira Y, et al. Immunoglobulin G4-related lung disease: clinicoradiological and pathological features. *Respirology*. 2013; 18:480-7.
20. Matsui, S., et al., Respiratory involvement in IgG4-related Mikulicz's disease. *Mod Rheumatol*, 2012. 22(1): p. 31-9.
21. Saeki T, Nishi S, Imai N, Ito T, Yamazaki H, Kawano M,et al. Clinicopathological characteristics of patients with IgG4-related tubulointerstitial nephritis. *Kidney Int*. 2010;78:1016-23.
22. Yoshimura Y, Takeda S, Ieki Y, Takazakura E, Koizumi H, Takagawa K. IgG4-associated prostatitis complicating autoimmune pancreatitis. *Intern Med*. 2006;45:897-901.
23. Sato Y, Kojima M, Takata K, Morito T, Asaoku H, Takeuchi Tet al. Systemic IgG4related lymphadenopathy: a clinical and pathologic comparison to multicentric Castleman's disease. *Mod Pathol*. 2009;22:589-99.
24. Ebbo M, Grados A, Guedj E, et al. Usefulness of 2-[18F]-fluoro2-deoxy-D-glucose-positron emission tomography/computed tomography for staging and evaluation of treatment response in IgG4-related disease: a retrospective multicenter study. *Arthritis Care Res (Hoboken)* 2014;66:86-96.
25. Umehara H, Okazaki K, Masaki Y, Kawano M, Yamamoto M, Saeki T, et al. Comprehensive diagnostic criteria for IgG4-related disease(IgG4-RD). 2011. *Mod Rheumatol*. 2012;22: 21-30.
26. Kamisawa T, Shimosegawa T, Okazaki K, et al. Standard treatment for autoimmune pancreatitis. *Gut* 2009;58:1504-7.
27. Yamamoto M, Harada S, Ohara M, Suzuki C, Naishiro Y, Yamamoto H. Beneficial effects of steroid therapy for Mikulicz's disease. *Rheumatology (Oxford)*. 2005;44:1322-3.
28. Tomiyama T, Uchida K, Matsushita M, et al. Comparison of steroid pulse therapy and conventional oral steroid therapy as initial treatment for autoimmune pancreatitis. *Gastroenterol* 2011;46:696-704.
29. Carruthers MN, Khosroshahi A, Augustin T, Deshpande V, Stone JH. The diagnostic utility of serum IgG4-related disease. *Ann Rheum Dis* 2015;74:14-8.

30. Khosroshahi A,Carruthers MN, Deshpande V, Unizony S,Bloch DB, Stone JH. Rituximab for the treatment of IgG4-related disease: lessons from 10 consecutive patients. *Medicine (Baltimore)*. 2012;91:57-66.
31. Khosroshahi A, Stone JH. Treatment approaches to IgG4-related systemic disease. *Curr Opin Rheumatol* 2011;23: 67-71.
32. Takahashi N, Ghazale AH, Smyrk TC, et al. Possible association between IgG4-associated systemic disease with or without autoimmune pancreatitis and non-Hodgkin lymphoma. *Pancreas*2009;38:523-6.
33. Yamamoto M, Takahashi H, Tabeya T, et al. Risk of malignancies in IgG4-related disease. *Mod Rheumatol*2012;22: 414-8.